

# К $\bar{K}$ -петлевой механизм нарушения изотопической симметрии в распаде $\eta(1405) \rightarrow f_0(980)\pi^0 \rightarrow \pi^+\pi^-\pi^0$ . Роль аномальных порогов Ландау

Н. Н. Ачасов<sup>1)</sup>, Г. Н. Шестаков

Лаборатория теоретической физики, Институт математики им. С.Л. Соболева СО РАН, 630090 Новосибирск, Россия

Поступила в редакцию 9 января 2018 г.

После переработки 18 января 2018 г.

Анализируется аномальное нарушение изотопической симметрии в распаде  $\eta(1405) \rightarrow f_0(980)\pi^0 \rightarrow \pi^+\pi^-\pi^0$  за счет механизма, содержащего аномальные пороги Ландау (логарифмические треугольные сингулярности), т.е. за счет перехода  $\eta(1405) \rightarrow (K^*\bar{K} + \bar{K}^*K) \rightarrow (K^+K^- + K^0\bar{K}^0)\pi^0 \rightarrow f_0(980)\pi^0 \rightarrow \pi^+\pi^-\pi^0$ . Показано, что для оценки эффекта принципиально важным оказывается учет конечной ширины  $K^*$ -мезона. Приводится сравнение различных масштабов нарушения изотопической симметрии, связанного с разностью масс  $K^+$ - и  $K^0$ -мезонов.

DOI: 10.7868/S0370274X18050028

В 2012 г. коллаборация BESIII измерила распады  $J/\psi \rightarrow \gamma\pi^+\pi^-\pi^0$  и  $J/\psi \rightarrow \gamma\pi^0\pi^0\pi^0$  и обнаружила в трехпионных спектрах масс в районе 1.4 ГэВ резонансный пик шириной около 50 МэВ [1]. При этом оказалось, что в соответствующих  $\pi^+\pi^--$  и  $\pi^0\pi^0-$  спектрах масс в районе 990 МэВ (т.е. в области  $K^+K^-$ - и  $K^0\bar{K}^0$ -порогов) содержится узкая структура с шириной около 10 МэВ [1]. Таким образом, в этом эксперименте впервые наблюдался (со статистической достоверностью, большей чем  $10\sigma$ ) нарушающий изоспин распад  $J/\psi \rightarrow \gamma\eta(1405) \rightarrow \gamma f_0(980)\pi^0$  с последующим распадом  $f_0(980) \rightarrow \pi^+\pi^-, \pi^0\pi^0$ . Согласно данным [1]:

$$\begin{aligned} BR(J/\psi \rightarrow \gamma\eta(1405) \rightarrow \gamma f_0(980)\pi^0 \rightarrow \gamma\pi^+\pi^-\pi^0) &= \\ &= (1.50 \pm 0.11 \pm 0.11) \cdot 10^{-5}. \end{aligned} \quad (1)$$

С учетом данных Particle Data Group (PDG) коллаборация BESIII получила также величину для отношения [1]:

$$\begin{aligned} \frac{BR(\eta(1405) \rightarrow f_0(980)\pi^0 \rightarrow \pi^+\pi^-\pi^0)}{BR(\eta(1405) \rightarrow a_0^0(980)\pi^0 \rightarrow \eta\pi^0\pi^0)} &= \\ &= (17.9 \pm 4.2)\%, \end{aligned} \quad (2)$$

которая практически исключает возможность объяснения найденного эффекта нарушения изотопической симметрии за счет механизма  $a_0^0(980) - f_0(980)$ -смешивания [т.е. за счет перехода  $a_0^0(980) \rightarrow (K^+K^- + K^0\bar{K}^0) \rightarrow f_0(980)$ ].

В то же время узкая структура резонансного типа, обнаруженная в  $\pi^+\pi^-$ - и  $\pi^0\pi^0$ -спектрах масс в распадах  $\eta(1405) \rightarrow \pi^+\pi^-\pi^0, \pi^0\pi^0\pi^0$  в области  $K^+K^-$ - и  $K^0\bar{K}^0$ -порогов, указывает, что механизм, ответственный за рождение  $f_0(980)$ -резонанса в распаде  $\eta(1405) \rightarrow f_0(980)\pi^0 \rightarrow 3\pi$ , подобен механизму  $a_0^0(980) - f_0(980)$ -смешивания [2–4], т.е. обусловлен  $K\bar{K}$ -петлевым переходом  $\eta(1405) \rightarrow (K^+K^- + K^0\bar{K}^0)\pi^0 \rightarrow f_0(980)\pi^0 \rightarrow 3\pi$ , амплитуда которого не исчезает, благодаря разности масс  $K^+$ - и  $K^0$ -мезонов, и оказывается значительной в узкой области между  $K^+K^-$ - и  $K^0\bar{K}^0$ -порогами.

Сравнение результата (1), полученного BESIII, с данными PDG [5] для доминирующего канала распада  $J/\psi \rightarrow \gamma\eta(1405/1475) \rightarrow \gamma K\bar{K}\pi$ ,

$$\begin{aligned} BR(J/\psi \rightarrow \gamma\eta(1405/1475) \rightarrow \gamma K\bar{K}\pi) &= \\ &= (2.8 \pm 0.6) \cdot 10^{-3}, \end{aligned} \quad (3)$$

даёт

$$\begin{aligned} \frac{BR(J/\psi \rightarrow \gamma\eta(1405) \rightarrow \gamma f_0(980)\pi^0 \rightarrow \gamma\pi^+\pi^-\pi^0)}{BR(J/\psi \rightarrow \gamma\eta(1405/1475) \rightarrow \gamma K\bar{K}\pi)} &= \\ &= (0.53 \pm 0.13)\%. \end{aligned} \quad (4)$$

Значение этого отношения также говорит об очень большом нарушении изотопической инвариантности в распаде  $\eta(1405) \rightarrow f_0(980)\pi^0$ .

Далее мы анализируем возможность теоретического объяснения сильного нарушения изотопической инвариантности в распаде  $\eta(1405) \rightarrow f_0(980)\pi^0 \rightarrow \pi^+\pi^-\pi^0$  за счет аномальных порогов Ландау (или логарифмических треугольных сингулярностей), которые присутствуют в

<sup>1)</sup>e-mail: achasov@math.nsc.ru

амплитуде перехода  $\eta(1405) \rightarrow (K^*\bar{K} + \bar{K}^*K) \rightarrow K\bar{K}\pi^0 \rightarrow f_0(980)\pi^0 \rightarrow \pi^+\pi^-\pi^0$  (см. диаграмму на рис. 1) вблизи  $K\bar{K}$ -порогов. Попытки объяснить

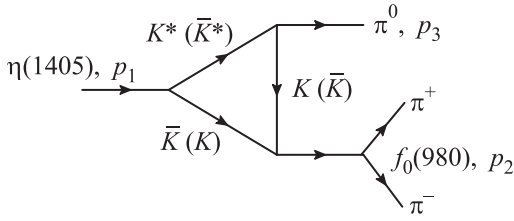


Рис. 1. Диаграмма распада  $\eta(1405) \rightarrow (K^*\bar{K} + \bar{K}^*K) \rightarrow K\bar{K}\pi^0 \rightarrow f_0(980)\pi^0 \rightarrow \pi^+\pi^-\pi^0$ . В области  $\eta(1405)$ -резонанса все промежуточные частицы в треугольной петле этой диаграммы могут находиться на массовой поверхности. Как следствие, в гипотетическом случае стабильного  $K^*$ -мезона в мнимой части амплитуды этой треугольной диаграммы возникает логарифмическая сингулярность [10–13].  $p_1, p_2, p_3$  обозначают 4-импульсы частиц в реакции,  $p_1^2 = s_1$  – квадрат инвариантной массы  $\eta(1405)$ -резонанса или конечной  $\pi^+\pi^-\pi^0$ -системы,  $p_2^2 = s_2$  – квадрат инвариантной массы  $f_0(980)$  или конечной  $\pi^+\pi^-$ -системы,  $p_3^2 = m_{\pi^0}^2$

распад  $\eta(1405) \rightarrow f_0(980)\pi^0 \rightarrow \pi^+\pi^-\pi^0$  с помощью такого механизма были предприняты в работах [6–9]. Вскоре после этого мы обратили внимание, что в проведенных расчетах векторный  $K^*$ -мезон,  $K^*(892)$ , в промежуточном состоянии считался стабильной частицей, и показали [10], что учет его конечной ширины,  $\Gamma_{K^*} \approx \Gamma_{K^* \rightarrow K\pi} \approx 50$  МэВ, сглаживает логарифмические сингулярности в амплитуде и приводит к уменьшению рассчитываемой вероятности распада  $\eta(1405) \rightarrow f_0(980)\pi^0 \rightarrow \pi^+\pi^-\pi^0$  в 6–8 раз по сравнению со случаем  $\Gamma_{K^*} = 0$ . Предполагая также доминантность распада  $\eta(1405) \rightarrow (K^*\bar{K} + \bar{K}^*K) \rightarrow K\bar{K}\pi^0$ , мы получили оценку [10]:

$$BR(J/\psi \rightarrow \gamma\eta(1405) \rightarrow \gamma f_0(980)\pi^0 \rightarrow \gamma\pi^+\pi^-\pi^0) \approx 1.12 \cdot 10^{-5}, \quad (5)$$

разумно согласующуюся с данными BESIII [1], приведенными в (1).

Здесь в отличие от работы [10] мы подробно показываем, как при учете конечной ширины  $K^*$ -мезона исчезает логарифмическая сингулярность (т.е. как в итоге модифицируются мнимая и реальная части амплитуды, нарушающей изоспин) и как возникает узкая резонансная структура в  $\pi^+\pi^-$ -спектре масс в распаде  $\eta(1405) \rightarrow f_0(980)\pi^0 \rightarrow \pi^+\pi^-\pi^0$ . Кроме того, мы впервые демонстрируем резкое изменение на  $90^\circ$  фазы амплитуды рождения  $f_0(980)$ -резонанса в области между  $K^+K^-$ - и  $K^0\bar{K}^0$ -порогами.

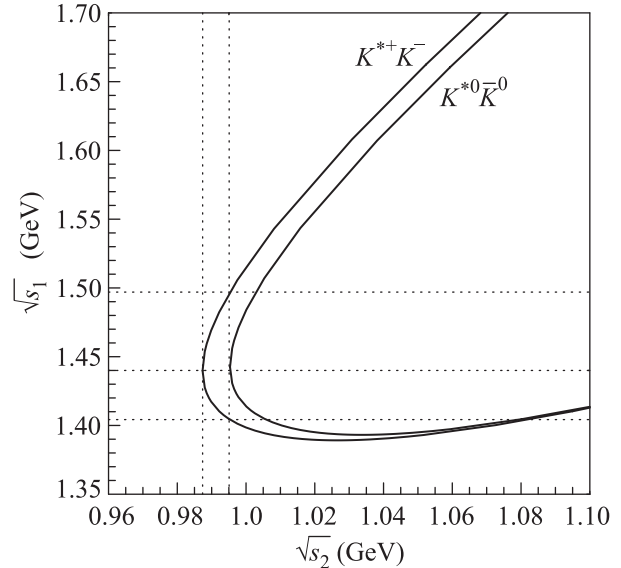


Рис. 2. Сплошные кривые на плоскости  $(\sqrt{s_2}, \sqrt{s_1})$  показывают положения логарифмической сингулярности в мнимой части треугольной диаграммы (см. рис. 1), отвечающей вкладам  $K^{*+}K^-$  и  $K^{*0}\bar{K}^0$ -промежуточных состояний. Пунктирными вертикальными линиями отмечены  $K^+K^-$ - и  $K^0\bar{K}^0$ -пороги по переменной  $\sqrt{s_2}$  (т.е. ее значения, равные  $2m_{K^+} = 0.987354$  ГэВ и  $2m_{K^0} = 0.995344$  ГэВ). Пунктирными горизонтальными линиями отмечены значения переменной  $\sqrt{s_1}$ , равные 1.404 ГэВ, 1.440 ГэВ и 1.497 ГэВ. При  $1.404$  ГэВ  $< \sqrt{s_1} < 1.497$  ГэВ логарифмическая сингулярность для случая  $K^{*+}K^-$ -промежуточного состояния располагается при значениях  $\sqrt{s_2}$ , находящихся между  $K^+K^-$ - и  $K^0\bar{K}^0$ -порогами, а для случая  $K^{*0}\bar{K}^0$ -промежуточного состояния она не уходит от  $K^0\bar{K}^0$ -порога дальше, чем на 6 МэВ. Приблизительно при значении  $\sqrt{s_1} = 1.440$  ГэВ сингулярности касаются  $K\bar{K}$ -порогов

Чтобы как можно яснее продемонстрировать влияние ширины  $K^*$ -мезона на расчет нарушающей изоспин диаграммы, показанной на рис. 1, мы пренебрежем наличием спиновых эффектов, которые лишь существенно усложняют промежуточные вычисления [10], но фактически никак не сказываются на конечном результате (т.е. будем далее считать  $K^*$  бесспиновой частицей).<sup>2)</sup>

<sup>2)</sup> Следует также отметить, что сходимость или расходимость треугольной диаграммы, как и  $K\bar{K}$ -петель в случае  $a_0^0(980) \rightarrow (K^+K^- + K^0\bar{K}^0) \rightarrow f_0(980)$ -перехода, не имеет отношения к обсуждаемому эффекту нарушения изоспина. Сумма констант вычитания для вкладов заряженных и нейтральных промежуточных состояний в дисперсионном представлении для нарушающей изоспин амплитуды имеет естественный порядок малости  $\sim (m_{K^0} - m_{K^+})$  и не может отвечать за усиление нарушения симметрии в узкой области около  $K^+K^-$ - и  $K^0\bar{K}^0$ -порогов.

Для амплитуды треугольной петли (см. рис. 1) введем обозначение:

$$T = 2 \frac{g_1 g_2 g_3}{16\pi} [F_+(s_1, s_2) - F_0(s_1, s_2)], \quad (6)$$

где  $g_1, g_2, g_3$  – константы связи в вершинах (они полагаются одинаковыми для заряженных и нейтральных каналов), амплитуды  $F_+(s_1, s_2)$  и  $F_0(s_1, s_2)$  описывают вклады заряженного и нейтрального промежуточных состояний соответственно, а множитель 2 учитывает, что таких вкладов два. При этом нарушение изоспина в рассматриваемой диаграмме мы связываем только с разностью масс стабильных заряженных и нейтральных  $K$ -мезонов и полагаем  $m_{K^{*+}} = m_{K^{*0}} = 0.8955$  ГэВ. Амплитуда  $F_+ \equiv F_+(s_1, s_2)$  имеет вид

$$F_+ = \frac{i}{\pi^3} \int \frac{d^4 k}{D_1 D_2 D_3}, \quad (7)$$

где  $D_1 = (k^2 - m_{K^{*+}}^2 + i\epsilon)$ ,  $D_2 = ((p_1 - k)^2 - m_{K^-}^2 + i\epsilon)$  и  $D_3 = ((k - p_3)^2 - m_{K^+}^2 + i\epsilon)$  – обратные пропагаторы частиц в петле. В области  $s_1 \geq (m_{K^{*+}} + m_{K^+})^2$  и  $s_2 \geq 4m_{K^+}^2$  мнимая часть  $F_+$  складывается из мнимой части, которая определяется скачком на  $K^{*+}K^-$ -разрезе по переменной  $s_1$ , и мнимой части, которая определяется скачком на  $K^+K^-$ -разрезе по переменной  $s_2$ :

$$\text{Im}F_+ = \text{Im}F_+^{(K^{*+}K^-)} + \text{Im}F_+^{(K^+K^-)}, \quad (8)$$

$$\text{Im}F_+^{(K^{*+}K^-)} = \frac{1}{\sqrt{\Delta}} \ln \left[ \frac{\alpha_+ + \sqrt{\Delta\delta_+}}{\alpha_+ - \sqrt{\Delta\delta_+}} \right], \quad (9)$$

$$\text{Im}F_+^{(K^+K^-)} = \frac{1}{\sqrt{\Delta}} \ln \left[ \frac{\alpha'_+ + \sqrt{\Delta\delta'_+}}{\alpha'_+ - \sqrt{\Delta\delta'_+}} \right], \quad (10)$$

где

$$\Delta = s_1^2 - 2s_1(s_2 + m_{\pi^0}^2) + (s_2 - m_{\pi^0}^2)^2, \quad (11)$$

$$\alpha_+ = s_1^2 - s_1(s_2 + m_{\pi^0}^2 + m_{K^{*+}}^2 - m_{K^+}^2) + (s_2 - m_{\pi^0}^2)(m_{K^+}^2 - m_{K^{*+}}^2), \quad (12)$$

$$\delta_+ = s_1^2 - 2s_1(m_{K^{*+}}^2 + m_{K^+}^2) + (m_{K^{*+}}^2 - m_{K^+}^2)^2, \quad (13)$$

$$\alpha'_+ = s_2(s_2 - s_1 - m_{\pi^0}^2 - 2m_{K^+}^2 + 2m_{K^{*+}}^2), \quad (14)$$

$$\delta'_+ = s_2(s_2 - 4m_{K^+}^2). \quad (15)$$

Заменяя в (7)–(15) индекс + на индекс 0 у функций и массы заряженных промежуточных частиц на массы их нейтральных партнеров, мы получим все, что нужно для описания амплитуды  $F_0 \equiv F_0(s_1, s_2)$ .

Особенность рассматриваемого случая состоит в том, что в области  $\eta(1405)$ -резонанса все промежуточные частицы в треугольной диаграмме на рис. 1

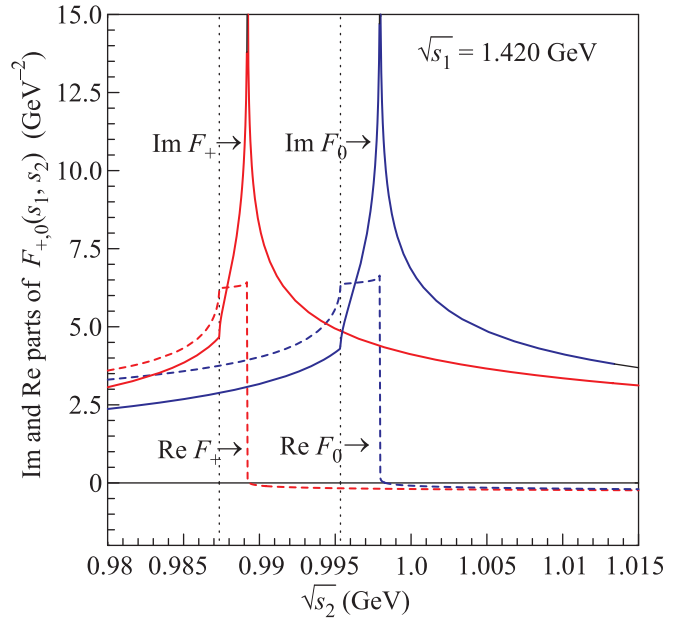


Рис. 3. (Цветной онлайн) Мнимые (реальные) части амплитуды  $F_+(s_1, s_2)$  – сплошные (штриховые) кривые для заряженного промежуточного состояния и амплитуды  $F_0(s_1, s_2)$  для нейтрального промежуточного состояния в треугольной петле, рассчитанные в гипотетическом случае стабильного промежуточного  $K^*$ -мезона

могут находиться на массовой поверхности. Такая ситуация имеет место при значениях кинематических переменных  $s_1$  и  $s_2$ , связанных между собой соотношениями

$$\alpha_{+,0} = \pm \sqrt{\Delta\delta_{+,0}} \quad (16)$$

или эквивалентными соотношениями

$$\alpha'_{+,0} = \pm \sqrt{\Delta\delta'_{+,0}}. \quad (17)$$

Следовательно, в гипотетическом случае стабильного  $K^*$ -мезона в мнимой части амплитуды этой треугольной диаграммы имеется логарифмическая сингулярность [10–13]. На рис. 2 показано, где на плоскости  $(\sqrt{s_2}, \sqrt{s_1})$  расположены логарифмические сингулярности, обусловленные вкладами  $K^{*+}K^-$ - и  $K^{*0}\bar{K}^0$ -промежуточных состояний. Как видно, в области  $\eta(1405)$ -резонанса они находятся очень близко к  $K\bar{K}$ -порогам (положения которых отмечены на этом рисунке, а также на других рисунках ниже, пунктирными вертикальными линиями). Например, при  $\sqrt{s_1} = 1.420$  ГэВ сингулярности во вкладах  $K^{*+}K^-$ - и  $K^{*0}\bar{K}^0$ -промежуточных состояний проявляют себя при значениях инвариантной массы  $\pi^+\pi^-$ -системы  $\sqrt{s_2} \approx 0.989$  ГэВ и  $0.998$  ГэВ соответственно (см. рис. 2). На рис. 3 представлен типичный пример поведения мнимых и реальных частей амплитуд

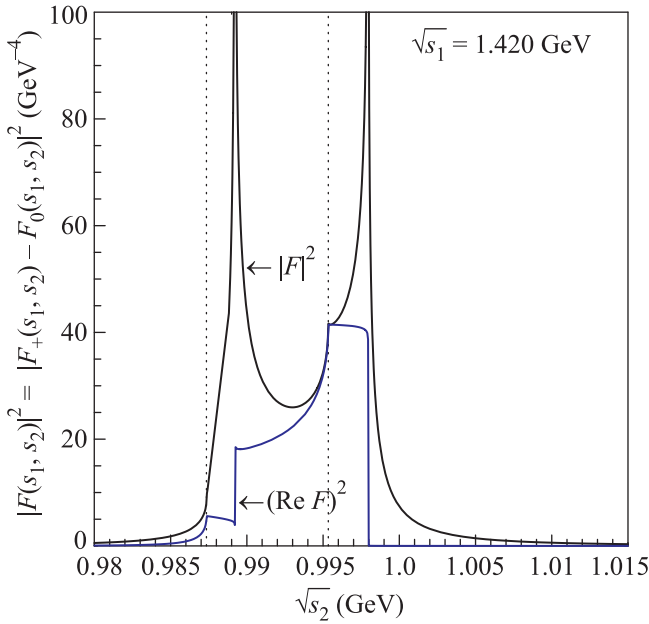


Рис. 4. (Цветной онлайн) Квадрат модуля и квадрат реальной части амплитуды треугольной петли  $F(s_1, s_2) \equiv F_+(s_1, s_2) - F_0(s_1, s_2)$ , нарушающей изотопическую инвариантность, отвечающие гипотетическому случаю стабильного промежуточного  $K^*$ -мезона. Интегральные вклады от мнимой и реальной частей амплитуды здесь приблизительно одинаковые

$F_+(s_1, s_2)$ ,  $F_0(s_1, s_2)$  как функций  $\sqrt{s_2}$  в районе  $K\bar{K}$ -порогов при разных  $\sqrt{s_1}$  в области  $\eta(1405)$ -резонанса, конкретно при  $\sqrt{s_1} = 1.420$  ГэВ. Картина характеризуется сингулярностями в  $\text{Im}F_{+,0}(s_1, s_2)$  и скачками в  $\text{Re}F_{+,0}(s_1, s_2)$ .

Так как расположенные в разных местах сингулярности от заряженных и нейтральных промежуточных состояний не компенсируют друг друга, то может показаться, что рассматриваемый механизм ведет к катастрофическому нарушению изотопической симметрии в распаде  $\eta(1405) \rightarrow \pi^+\pi^-\pi^0$ , как это иллюстрирует рис. 4.

Однако в действительности такая “сингулярная картина” реализоваться не может. Учет конечной ширины  $K^*$ -резонанса (т.е. усреднение амплитуды по резонансному брейт-вигнеровскому распределению  $K^*$  в соответствии со спектральным представлением Челлена–Лемана для пропагатора нестабильного  $K^*$ -мезона [11–13]) замазывает логарифмические особенности в амплитуде и тем самым усиливает компенсацию вкладов  $(K^{*+}K^- + K^{*-}K^+)$ - и  $(K^{*0}\bar{K}^0 + \bar{K}^{*0}K^0)$ -промежуточных состояний. В результате это приводит к уменьшению рассчитываемой ширины распада  $\eta(1405) \rightarrow \pi^+\pi^-\pi^0$  в несколько раз по сравнению со случаем  $\Gamma_{K^* \rightarrow K\pi} = 0$  и сосре-

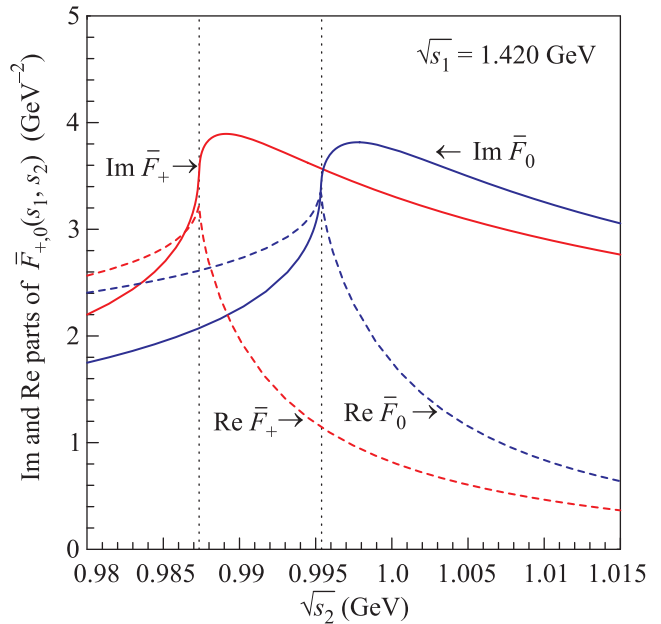


Рис. 5. (Цветной онлайн) Мнимые (реальные) части амплитуды  $\bar{F}_+(s_1, s_2)$  – сплошные (штриховые) кривые для заряженного промежуточного состояния и амплитуды  $\bar{F}_0(s_1, s_2)$  для нейтрального промежуточного состояния в треугольной петле, рассчитанные с учетом нестабильности промежуточного  $K^*$ -мезона

доточению основного эффекта нарушения изоспина в области инвариантных масс  $\pi^+\pi^-$  между  $K\bar{K}$ -порогами.

Итак, согласно сказанному выше, запишем пропагатор нестабильного  $K^*$ -мезона в форме спектрального представления Челлена–Лемана [11–13]:

$$\frac{1}{m_{K^*}^2 - k^2 - im_{K^*}\Gamma_{K^*}} \rightarrow \int_{(m_K+m_\pi)^2}^{\infty} dm^2 \frac{\rho(m^2)}{m^2 - k^2 - i\epsilon} \quad (18)$$

и аппроксимируем  $\rho(m^2)$  следующим образом:

$$\rho(m^2) = \frac{1}{\pi} \frac{m_{K^*}\Gamma_{K^*}}{(m^2 - m_{K^*}^2)^2 + (m_{K^*}\Gamma_{K^*})^2}. \quad (19)$$

Далее заменим в формулах для амплитуд  $F_{+,0}(s_1, s_2)$  квадрат массы  $K^*$ -мезона  $m_{K^*}^2$  на квадрат переменной массы  $m^2$  и определим взвешенные со спектральной плотностью  $\rho(m^2)$  амплитуды [11–13]:

$$\bar{F}_{+,0}(s_1, s_2) = \int_{(m_K+m_\pi)^2}^{\infty} \rho(m^2) F_{+,0}(s_1, s_2; m^2) dm^2. \quad (20)$$

Рис. 5 иллюстрирует поведение мнимых и реальных частей взвешенных амплитуд  $\bar{F}_+(s_1, s_2)$  и  $\bar{F}_0(s_1, s_2)$  как функций  $\sqrt{s_2}$  в районе  $K\bar{K}$ -порогов при  $\sqrt{s_1} = 1.420$  ГэВ. Сравнение этого рисунка с рис. 3 показывает, что от сингулярного поведения амплитуд

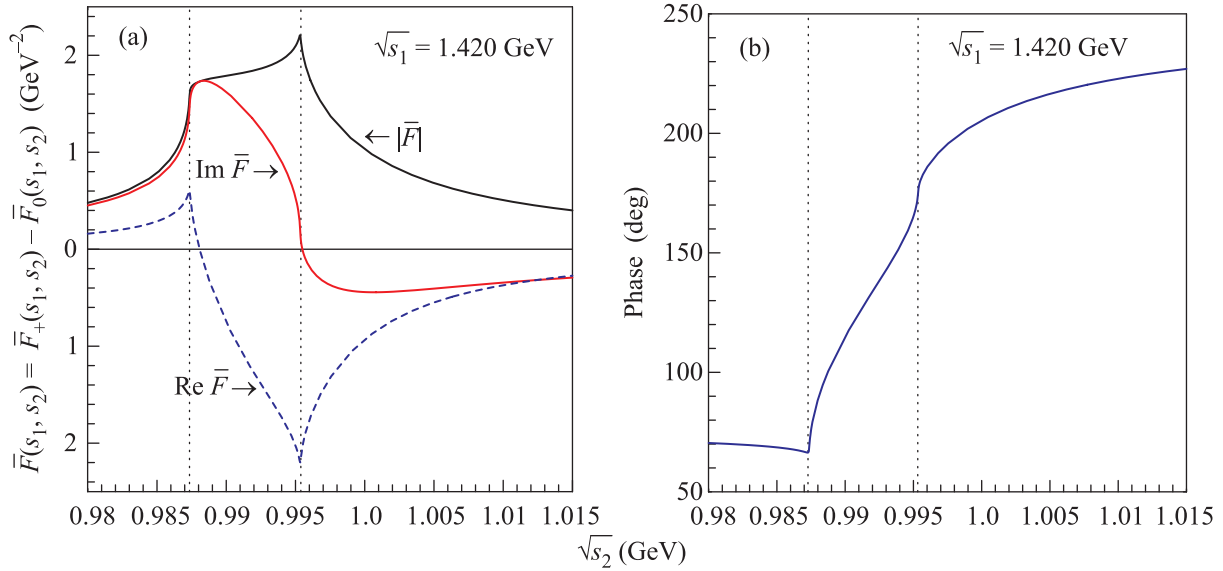


Рис. 6. (Цветной онлайн) (а) – Модуль, мнимая и реальная части амплитуды треугольной петли  $\bar{F}(s_1, s_2) = \bar{F}_+(s_1, s_2) - \bar{F}_0(s_1, s_2)$ , полученные с учетом нестабильности промежуточного  $K^*$ -мезона. (б) – Фаза амплитуды  $\bar{F}(s_1, s_2)$

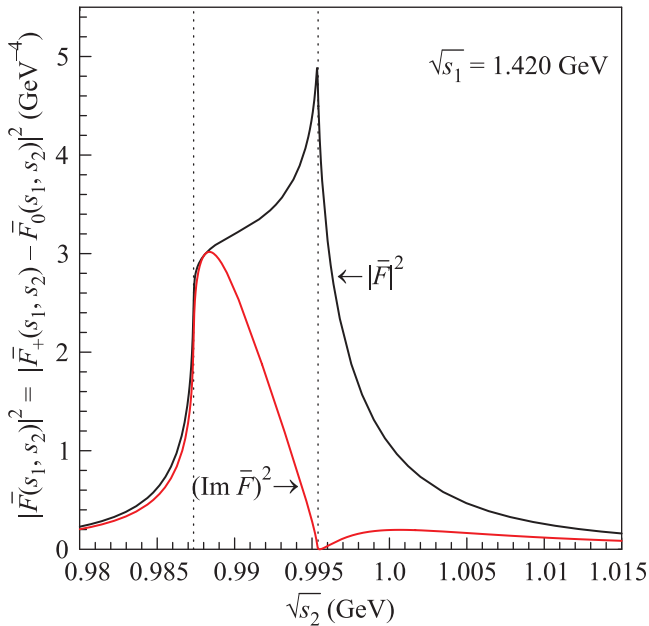


Рис. 7. (Цветной онлайн) Квадрат модуля и квадрат мнимой части амплитуды треугольной петли  $\bar{F}(s_1, s_2) = \bar{F}_+(s_1, s_2) - \bar{F}_0(s_1, s_2)$ , полученные с учетом нестабильности промежуточного  $K^*$ -мезона. Представленную картину следует сравнить с рис. 4

$F_+(s_1, s_2)$  и  $F_0(s_1, s_2)$  фактически ничего не остается после учета нестабильности промежуточного  $K^*$ -мезона.

Модуль, мнимая и реальная части, а также фаза амплитуды треугольной петли  $\bar{F}(s_1, s_2) \equiv$

$\equiv \bar{F}_+(s_1, s_2) - \bar{F}_0(s_1, s_2)$ , нарушающей изотопическую инвариантность, рассчитанные с учетом нестабильности промежуточного  $K^*$ -мезона, представлены на рис. 6. Как видно, все характерные особенности амплитуды  $\bar{F}(s_1, s_2)$  привязаны к  $K\bar{K}$ -порогам и поведение ее модуля и фазы во многом подобно поведению модуля и фазы амплитуды  $a_0^0(980) - f_0(980)$ -смешивания [2, 4].

Показанный на рис. 7 квадрат модуля амплитуды  $\bar{F}(s_1, s_2) = \bar{F}_+(s_1, s_2) - \bar{F}_0(s_1, s_2)$ , полученный с учетом нестабильности промежуточного  $K^*$ -мезона, следует сравнить с аналогичной величиной на рис. 4 для случая  $\Gamma_{K^*} = 0$ . Отметим, что площади под соответствующими кривыми на этих рисунках различаются приблизительно на порядок. Таково влияние величины  $\Gamma_{K^*} = 50$  МэВ. Отметим также, что модификация за счет конечной ширины  $K^*$ -мезона вкладов логарифмических треугольных сингулярностей (наличие которых определяется лишь условиями (16) или (17) и не связано со спиновой структурой частиц) остается практически неизменной и при учете спиновых эффектов в распаде  $\eta(1405) \rightarrow (K^* \bar{K} + \bar{K}^* K) \rightarrow (K^+ K^- + K^0 \bar{K}^0) \pi^0 \rightarrow f_0(980) \pi^0 \rightarrow \pi^+ \pi^- \pi^0$ , что явно демонстрирует результат расчета, приведенный в [10].

Аналогичные картины имеют место при всех значениях  $\sqrt{s_1}$  в области  $\eta(1405)$ -резонанса. На рис. 8 мы привели общий вид спектра масс  $\pi^+ \pi^-$  в распаде  $\eta(1405) \rightarrow \pi^+ \pi^- \pi^0$ , рассчитанный при номинальной массе  $\eta(1405)$ , т.е. при  $\sqrt{s_1} = 1.405$  ГэВ, по формуле

$$\frac{dN}{d\sqrt{s_2}} = C \sqrt{\frac{\Delta}{s_1}} |\bar{F}_+(s_1, s_2) - \bar{F}_0(s_1, s_2)|^2 \times \frac{s_2 \Gamma_{f_0 \rightarrow \pi^+\pi^-}(\sqrt{s_2})}{\pi |D_{f_0}(\sqrt{s_2})|^2}, \quad (21)$$

где  $C$  – нормировочная постоянная,  $\Gamma_{f_0 \rightarrow \pi^+\pi^-}(\sqrt{s_2})$  и  $D_{f_0}(\sqrt{s_2})$  – ширина распада на  $\pi^+\pi^-$  и обратный пропагатор  $f_0(980)$  [14].

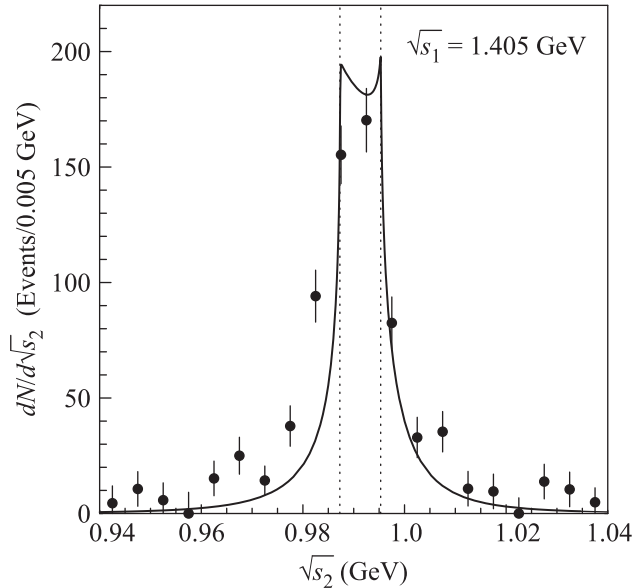


Рис. 8. Иллюстрация формы спектра масс  $\pi^+\pi^-$  в распаде  $\eta(1405) \rightarrow \pi^+\pi^-\pi^0$ , построенного по формуле (21), отвечающей вкладу диаграммы на рис. 1. Точки с ошибками – первые данные BESIII по этому распаду [1]

В заключение перечислим возможные масштабы нарушения изотопической симметрии, индуцированного разностью масс  $K^+$ - и  $K^0$ -мезонов, которые могут возникать в различных реакциях.

Итак, обычный порядок нарушения изотопической симметрии в амплитуде процесса, определяемый разностями масс частиц в мезонных изотопических мультиплетях,

$$\simeq (m_{K^0} - m_{K^+})/m_{K^0} \approx 1/126; \quad (22)$$

порядок нарушения симметрии в амплитуде процесса в области между  $K^+K^-$ - и  $K^0\bar{K}^0$ -порогами за счет любого механизма рождения  $K\bar{K}$ -пар с определенным изоспином в  $S$ -волне без аномальных порогов Ландау [4, 14], в частности, за счет  $a_0^0(980) - f_0(980)$ -смешивания [2, 4],

$$\simeq \sqrt{2(m_{K^0} - m_{K^+})}/m_{K^0} \approx 0.127; \quad (23)$$

порядок нарушения симметрии в амплитуде распада  $\eta(1405) \rightarrow f_0(980)\pi^0 \rightarrow \pi^+\pi^-\pi^0$  за счет логарифмических треугольных сингулярностей во вкладах

$(K^*\bar{K} + \bar{K}^*K)$ -промежуточных состояний в области  $\sqrt{s_2}$  между  $K^0\bar{K}^0$ - и  $K^+K^-$ -порогами [10]:

$$\simeq \left| \ln \left| \frac{\Gamma_{K^*}/2}{\sqrt{m_{K^0}^2 - m_{K^+}^2 + \Gamma_{K^*}^2/4}} \right| \right| \approx 1 \quad (24)$$

(такую оценку для нескомпенсированного вклада между заряженными и нейтральными промежуточными состояниями в треугольной диаграмме, согласующуюся с рис. 6а, можно получить, например, из формулы (10), заменив в ней в точке сингулярности  $m_{K^*}^2$  на  $m_{K^*}^2 - im_{K^*}\Gamma_{K^*}$ ).

Во всех случаях аномального нарушения изотопической симметрии, соответствующих формулам (23) и (24), фаза нарушающей симметрию амплитуды меняется в области между  $K^+K^-$ - и  $K^0\bar{K}^0$ -порогами приблизительно на  $90^\circ$  [4, 10, 14].

Работа частично поддержана грантом РФФИ # 16-02-00065 и грантом Президиума Российской академии наук # 0314-2015-0011.

1. M. Ablikim, M. N. Achasov, O. Albayrak et al. (BESIII Collab.), Phys. Rev. Lett. **108**, 182001 (2012).
2. N. N. Achasov, S. A. Devyanin, and G. N. Shestakov, Phys. Lett. B **88**, 367 (1979).
3. Н. Н. Ачасов, С. А. Девянин, Г. Н. Шестаков, ЯФ **33**, 1337 (1981) [N. N. Achasov, S. A. Devyanin, and G. N. Shestakov, Sov. J. Nucl. Phys. **33**, 715 (1981)].
4. N. N. Achasov and G. N. Shestakov, Nucl. Part. Phys. Proc. **287–288**, 89 (2017).
5. C. Patrignani, K. Agashe, G. Aielli, et al. (Particle Data Group), Chin. Phys. C **40**, 100001 (2016), and 2017 update.
6. J. J. Wu, X. H. Liu, Q. Zhao, and B. S. Zou, Phys. Rev. Lett. **108**, 081803 (2012).
7. F. Aceti, W. H. Liang, E. Oset, J. J. Wu, and B. S. Zou, Phys. Rev. D **86**, 114007 (2012).
8. X. G. Wu, J. J. Wu, Q. Zhao, and B. S. Zou, Phys. Rev. D **87**, 014023 (2013).
9. F. Aceti, J. M. Dias, and E. Oset, Eur. Phys. J. A **51**, 48 (2015).
10. N. N. Achasov, A. A. Kozhevnikov, and G. N. Shestakov, Phys. Rev. D **92**, 036003 (2015).
11. N. N. Achasov and A. A. Kozhevnikov, Z. Phys. C **48**, 121 (1990).
12. Н. Н. Ачасов, А. А. Кожевников, ЯФ **56**, 191 (1993) [N. N. Achasov and A. A. Kozhevnikov, Phys. Atom. Nucl. **56**, 1261 (1993)].
13. N. N. Achasov and A. A. Kozhevnikov, Phys. Rev. D **49**, 275 (1994).
14. N. N. Achasov, A. A. Kozhevnikov, and G. N. Shestakov, Phys. Rev. D **93**, 114027 (2016).